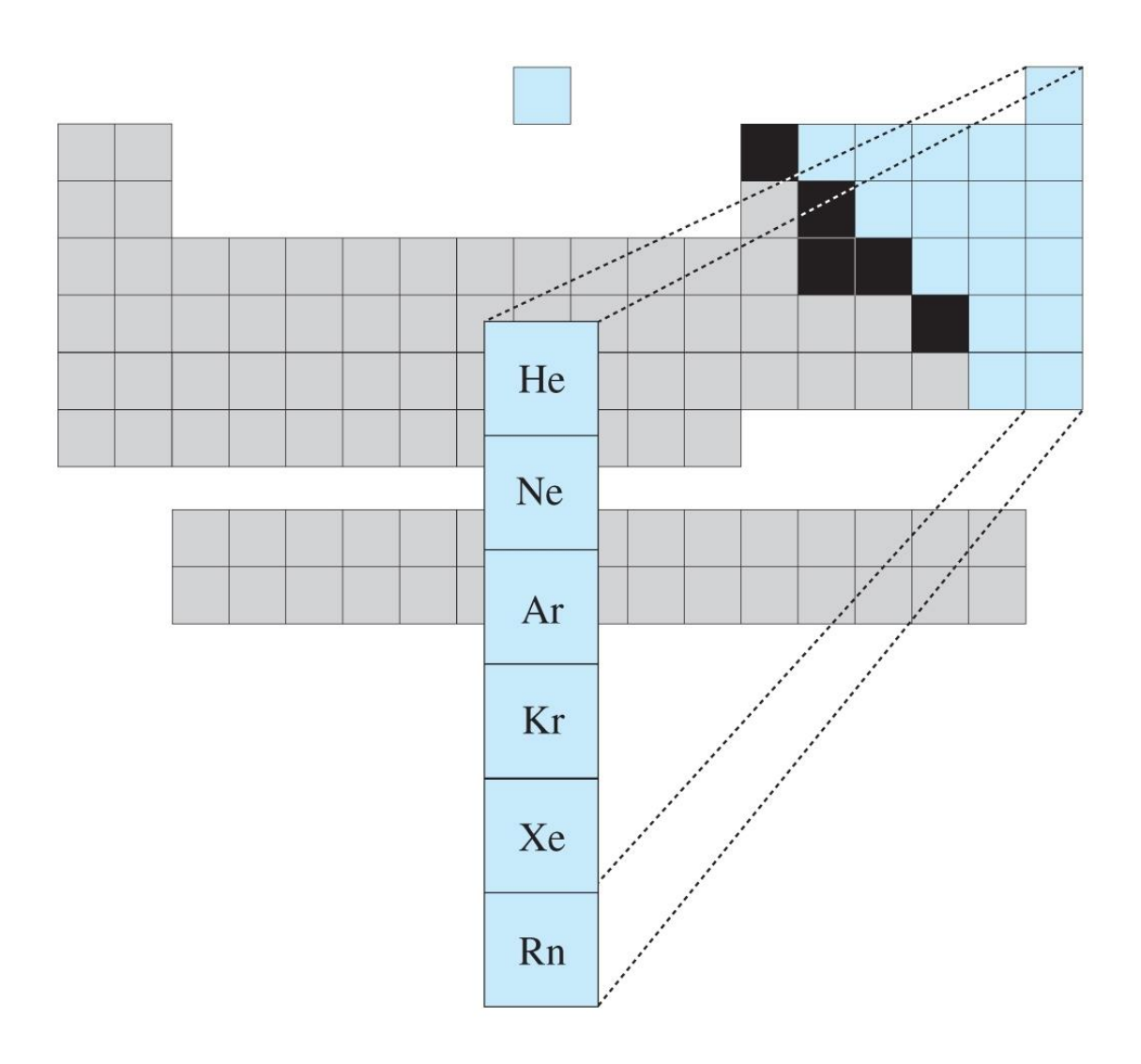
#### Die Elemente der Gruppe 18 – die Edelgase

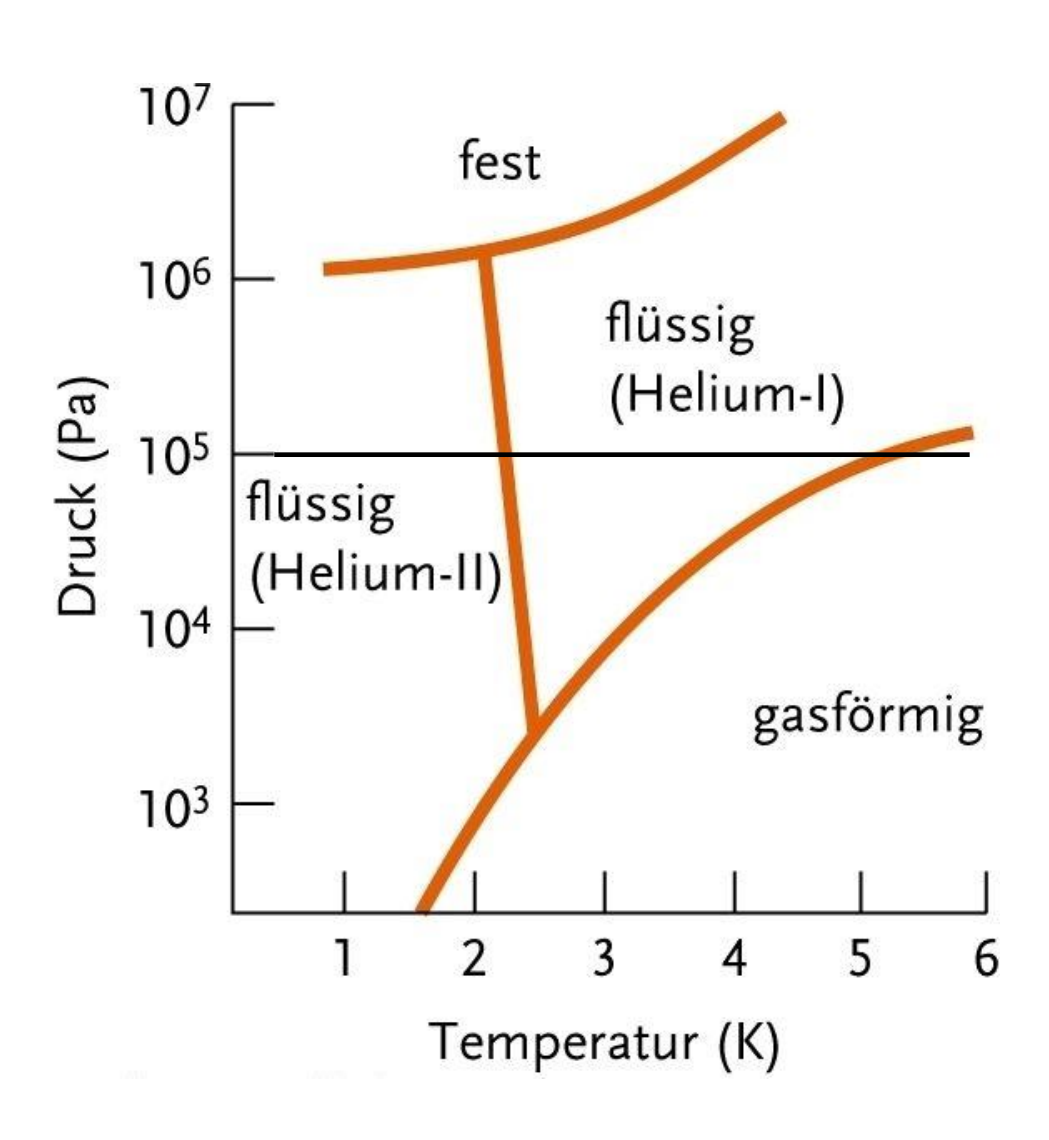


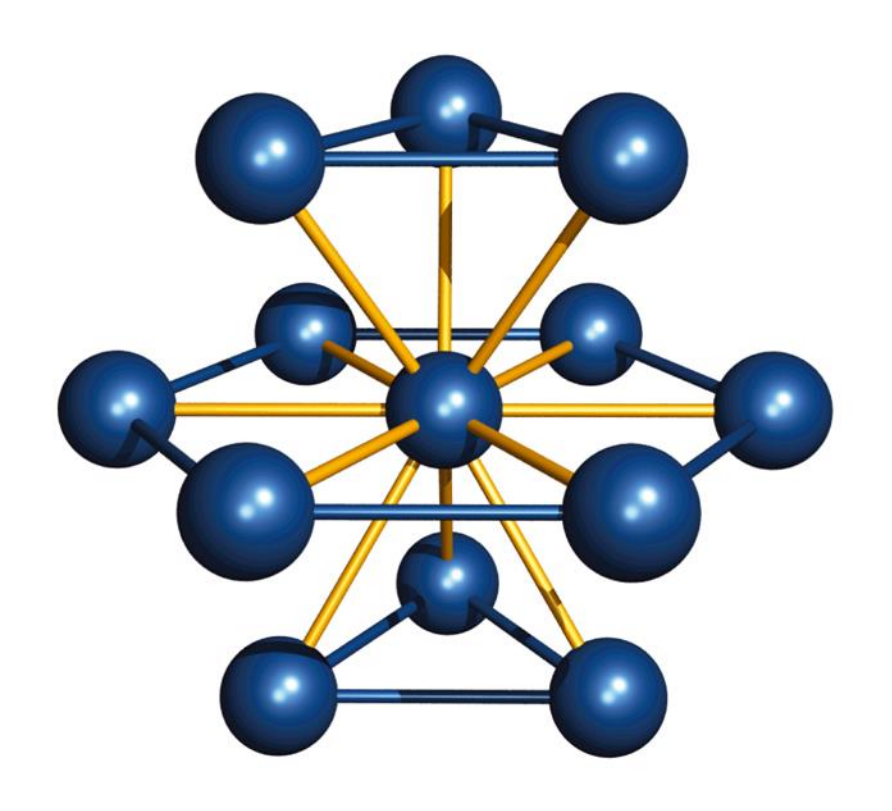
<u>http://www.uniterra.de/rutherford;</u> <u>http://de.wikipedia.org/wiki/Periodensystem;</u>
<u>http://www.seilnacht.com/Lexikon/psframe.htm;</u> <u>http://pubs.acs.org/cen/80th/elements.html</u>

Edelgas	Dichte* (g · l <sup>–1</sup> )	Dichte** (g · ml <sup>-1</sup> )	Schmelz- temperatur (°C)	Siede- temperatur (°C)	Löslichkeit in Wasser* (ml·kg <sup>-1</sup> )
Helium (He)	0,17	0,12	-	-269	9,2
Neon (Ne)	0,84	1,21	-249	-246	11,3
Argon (Ar)	1,66	1,39	–189	–186	36
Krypton (Kr)	3,49	2,41	<b>–157</b>	<b>–</b> 153	63,8
Xenon (Xe)	5,49	3,0	-112	-108	115,9
Radon (Rn)	9,1	4,0	<del>-</del> 71	-62	246,8

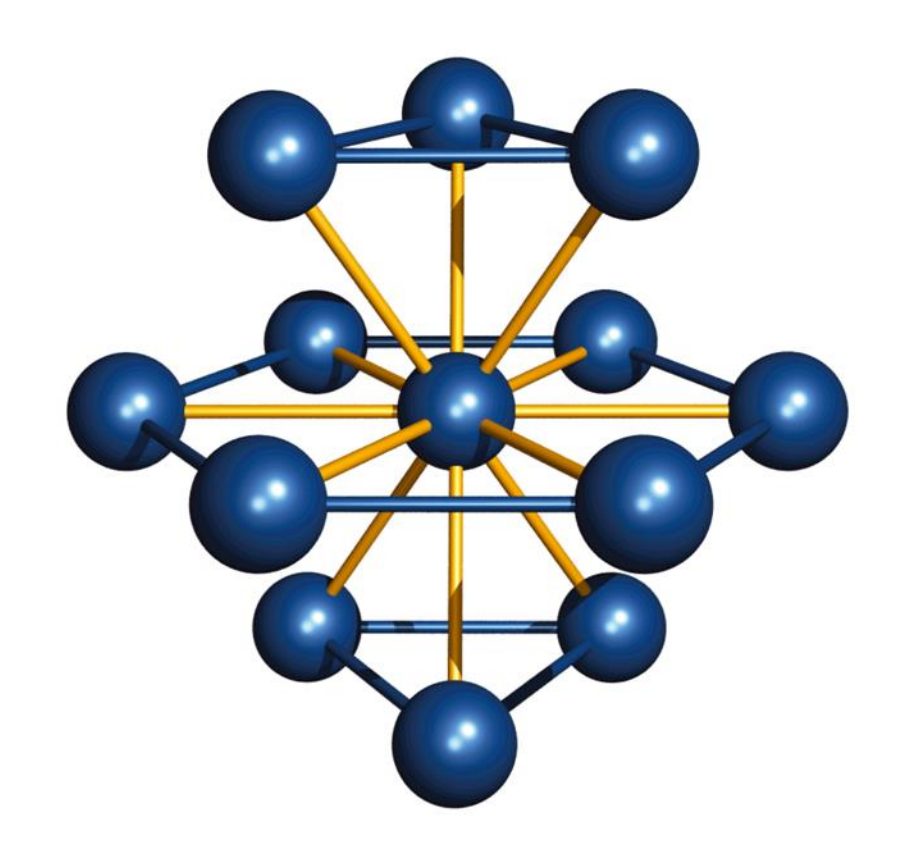
	Helium He	Neon Ne	Argon Ar	Krypton Kr	Xenon Xe	Radon Rn
Ordnungszahl Z	2	10	18	36	54	86
Elektronenkonfiguration	1s <sup>2</sup>	$[He]$ $2s^2 2p^6$	$[Ne] \\ 3s^2 3p^6$	[Ar] 3d <sup>10</sup> 4s <sup>2</sup> 4p <sup>6</sup>	[Kr] 4d <sup>10</sup> 5s <sup>2</sup> 5p <sup>6</sup>	[Xe] 4f <sup>14</sup> 5d <sup>10</sup> 6s <sup>2</sup> 6p <sup>6</sup>
Ionisierungsenergie in eV	24,6	21,6	15,8	14,0	12,1	10,7
Promotionsenergie $np \rightarrow (n+1)s$ in eV		16,6	11,5	9,9	8,3	6,8
Schmelzpunkt in °C	-272	-249	-189	-157	-112	<b>-</b> 71
Siedepunkt in °C	-269	-246	-186	-153	-108	- 62
Kritische Temperatur in °C	-268	-229	-122	- 64	17	105
Van der Waals-Radien in pm	120	160	190	200	220	_
Farbe des in Gasentladungsröhren ausgestrahlten Lichts	gelb	rot	rot	gelbgrün	violett	weiß

#### Phasendiagramm des Heliums





Hexagonal dichteste Kugelpackung



Kubisch dichteste Kugelpackung

## Zusammensetzung der Luft

Bestandteil	Volumenanteil in %	Volumenanteil in 5000 m <sup>3</sup>	
Stickstoff, N <sub>2</sub>	78,08	3904,5 m <sup>3</sup>	
Sauerstoff, O <sub>2</sub>	20,95	1047,5 m <sup>3</sup>	
Argon, Ar	0,934	46,5 m <sup>3</sup>	
Kohlenstoffdioxid, CO <sub>2</sub>	0,036	1,5 m <sup>3</sup>	
Neon	0,0018	80 I	
Helium	0,0005	25 I	
Krypton	0,0001	5 I	
Xenon	0,000009	0,45 l	
Radon	6 • 10 <sup>-18</sup>	3 ⋅ 10 <sup>-10</sup> ml	











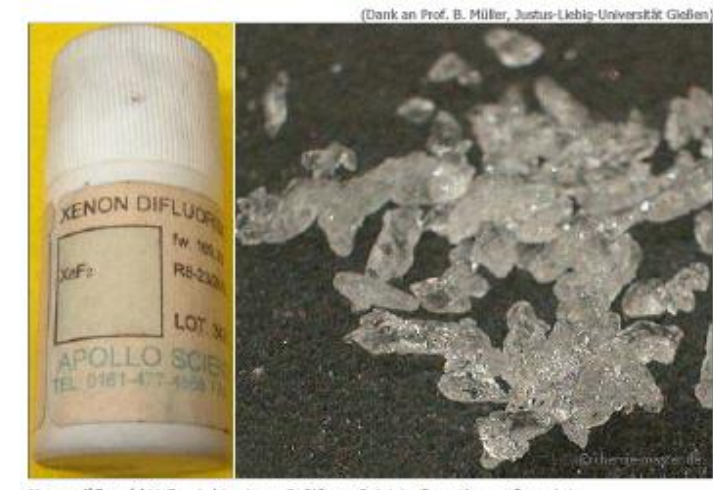
#### Die Elemente der Gruppe 18 – die Edelgase: Entdeckungsgeschichte



Nachweis und Isolierung des radioaktiven Radons

("Radium-Emanation")

# Edelgasverbindungen



Xenondifluorid XeF<sub>2</sub> wird in einem Gefäß aus Polytetrafluorethen aufbewahrt.

	Oxidations- zahl	Eigenschaften	Molekülstruktur
KrF <sub>2</sub>	+2	farblose Kristalle $\Delta H_{\rm B}^{\circ} = +15 \text{ kJ/mol}$ metastabil bei t < 0 °C	linear
XeF <sub>2</sub>	+2	farblose Kristalle $\Delta H_{\rm R}^{\circ} = -164  {\rm kJ/mol};  {\rm Smp.}  129  {\rm ^{\circ}C}$	linear
$RnF_2$	+2	Festkörper	
XeF <sub>4</sub>	+4	farblose Kristalle $\Delta H_{\rm B}^{\circ} = -278 \text{ kJ/mol}$ ; Smp. 117°C	quadratisch
XeF <sub>6</sub>	+6	farblose Kristalle $\Delta H_{\rm B}^{\circ} = -361  {\rm kJ/mol};  {\rm Smp.}  49  {\rm ^{\circ}C}$	verzerrt oktaedrisch

# Grundgedanken einer Molekülorbitaltheorie (MO-Theorie): Molekülorbitale durch Linearkombination von Atomorbitalen (LCAO-Methode)

#### Vorgehensweise bei der Konstruktion eines MO-Schemas:

- A) (Valenz-)orbitale des Zentralatoms(-körpers) und der Liganden/Substituenten
- B) Bildung eines (mehrerer) Satzes symmetrieadaptierter Liganden/Substituenten-Orbitale
- C) Kombination der Orbitale

#### Regeln:

- (1) Wechselwirkung nur möglich zwischen Orbitalen gleicher Symmetrie
- (2) Für eine gute Orbitalwechselwirkung dürfen die Energien der beteiligten Orbitale nicht zu unterschiedlich sein.
- (3) Orbitale kombinieren umso besser, je größer ihre Überlappung ist.

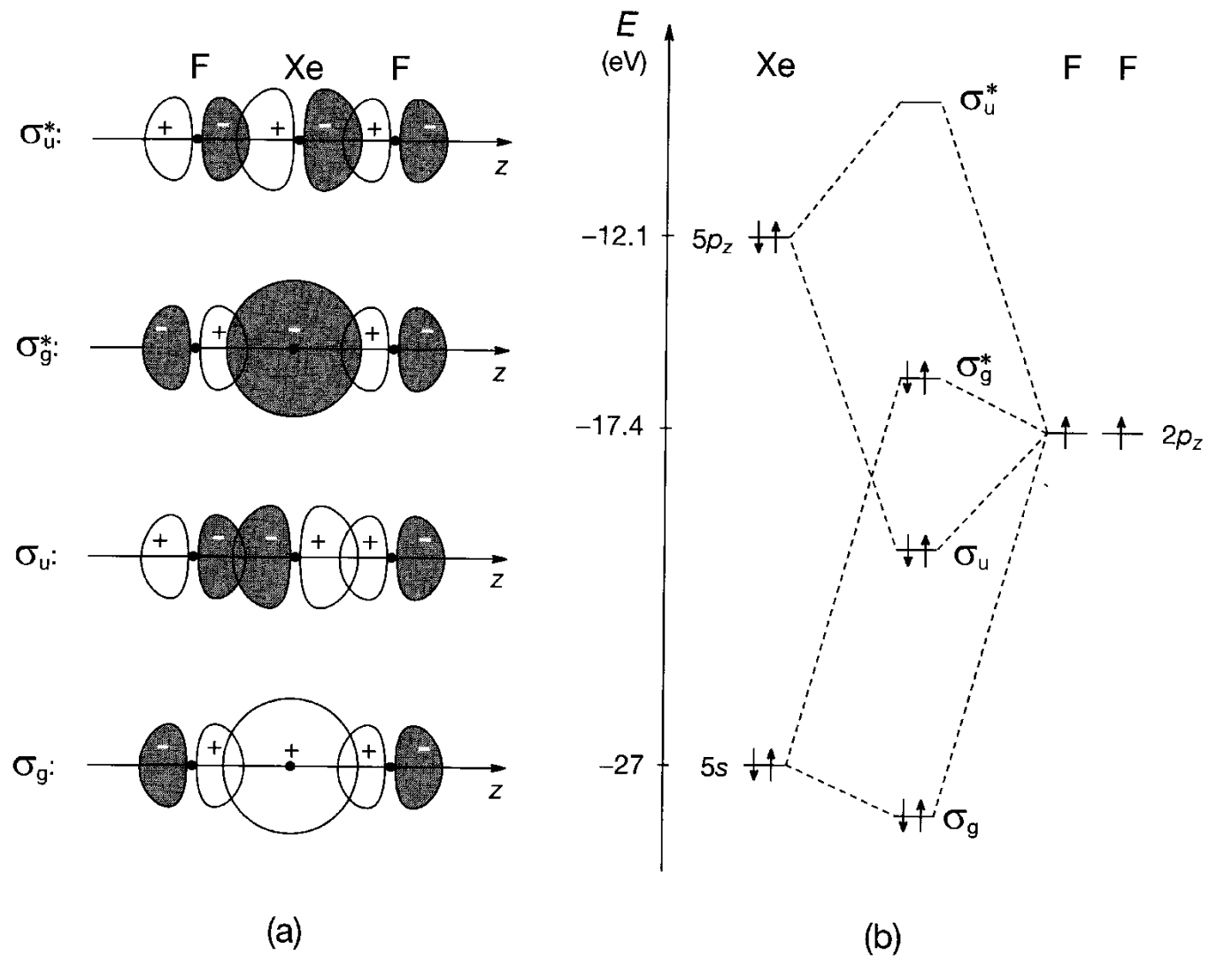


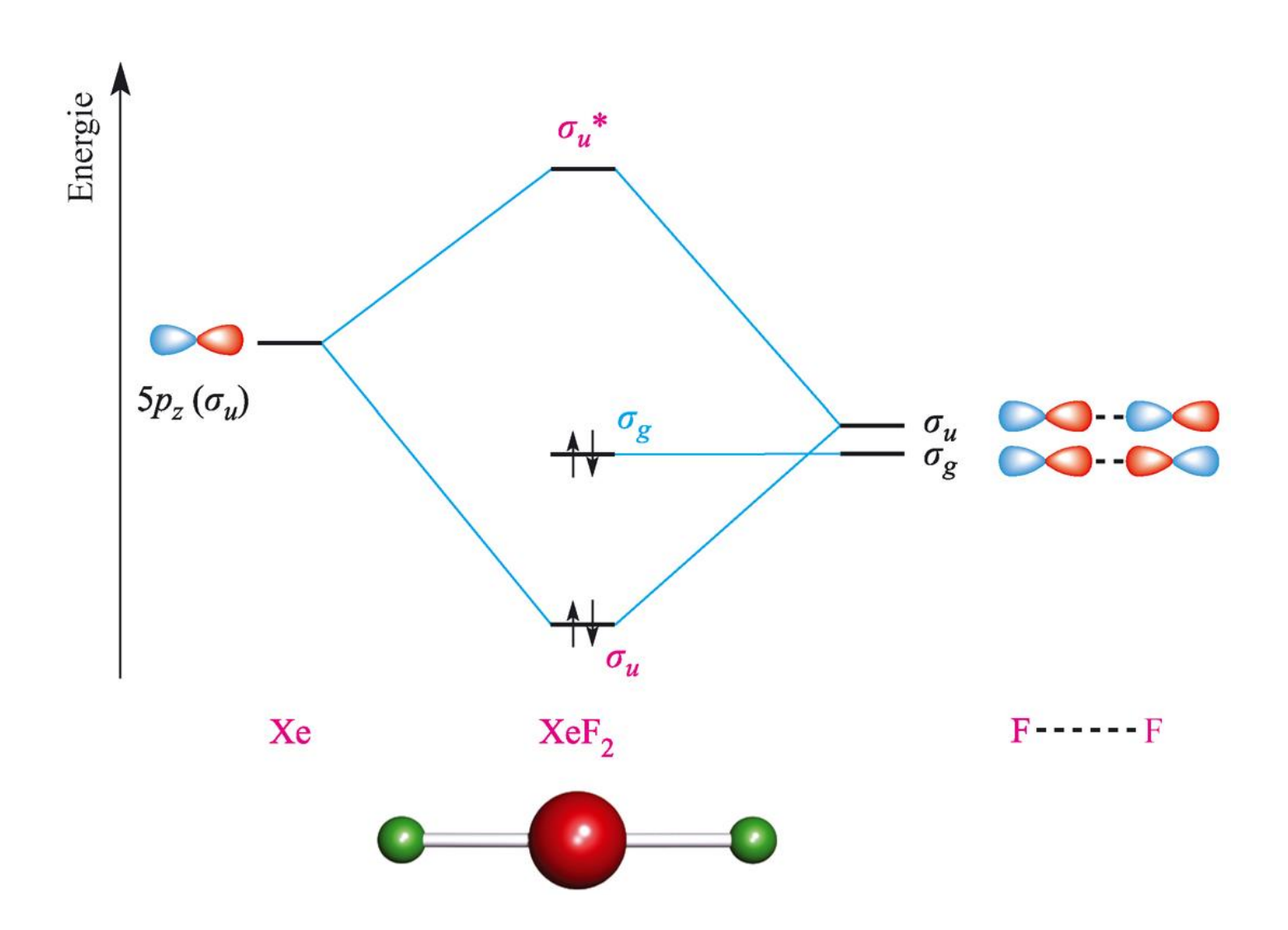
Abb. 14.2 Die kovalente Bindung im Xenondifluorid.

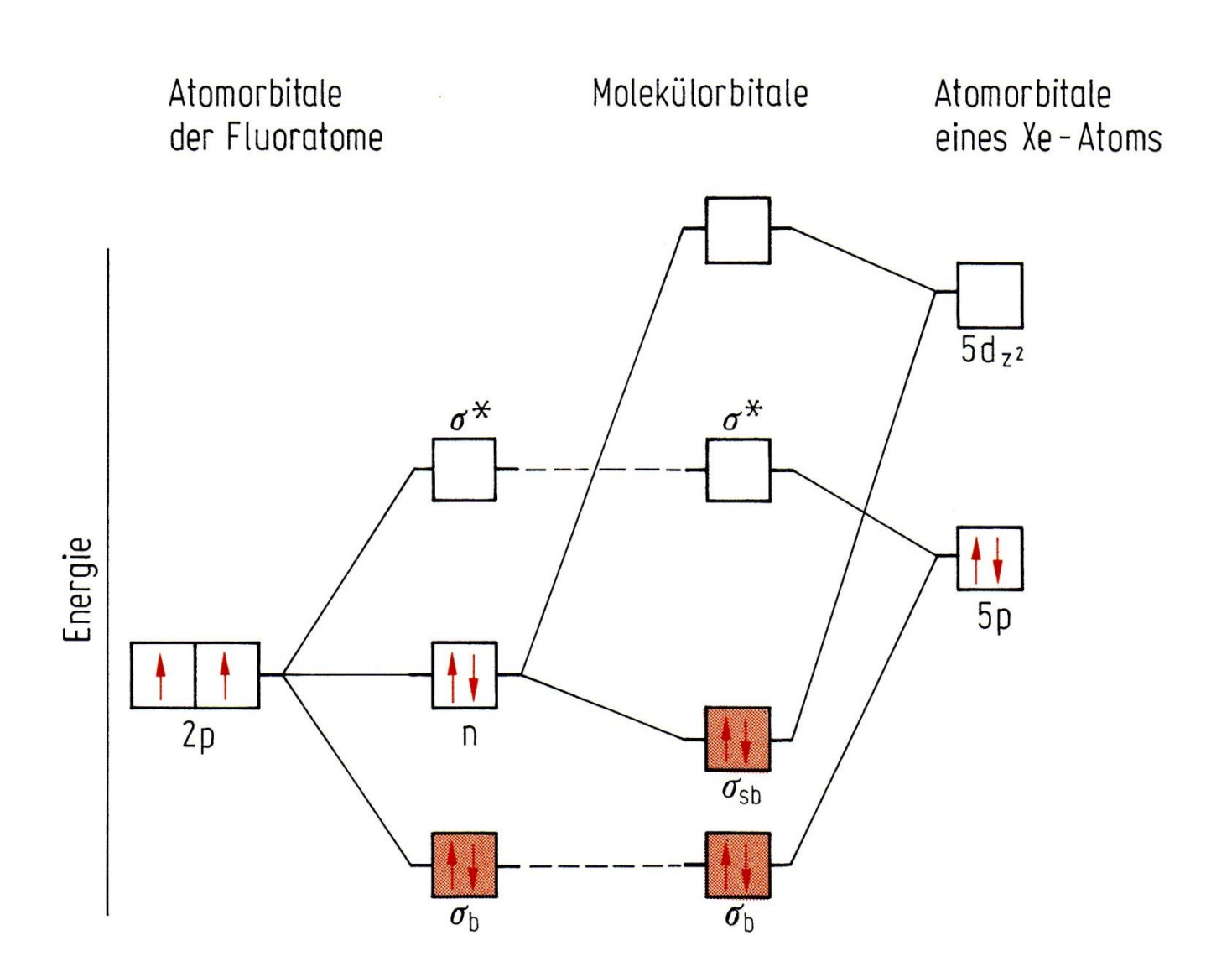
- (a) Linearkombinationen für die vier  $\sigma$ -Molekülorbitale.
- (b) Schematisches Energieniveaudiagramm für die  $\sigma$ -Molekülorbitale (das 2s-AO von Fluor liegt bei -46.4 eV und kann daher vernachlässigt werden).

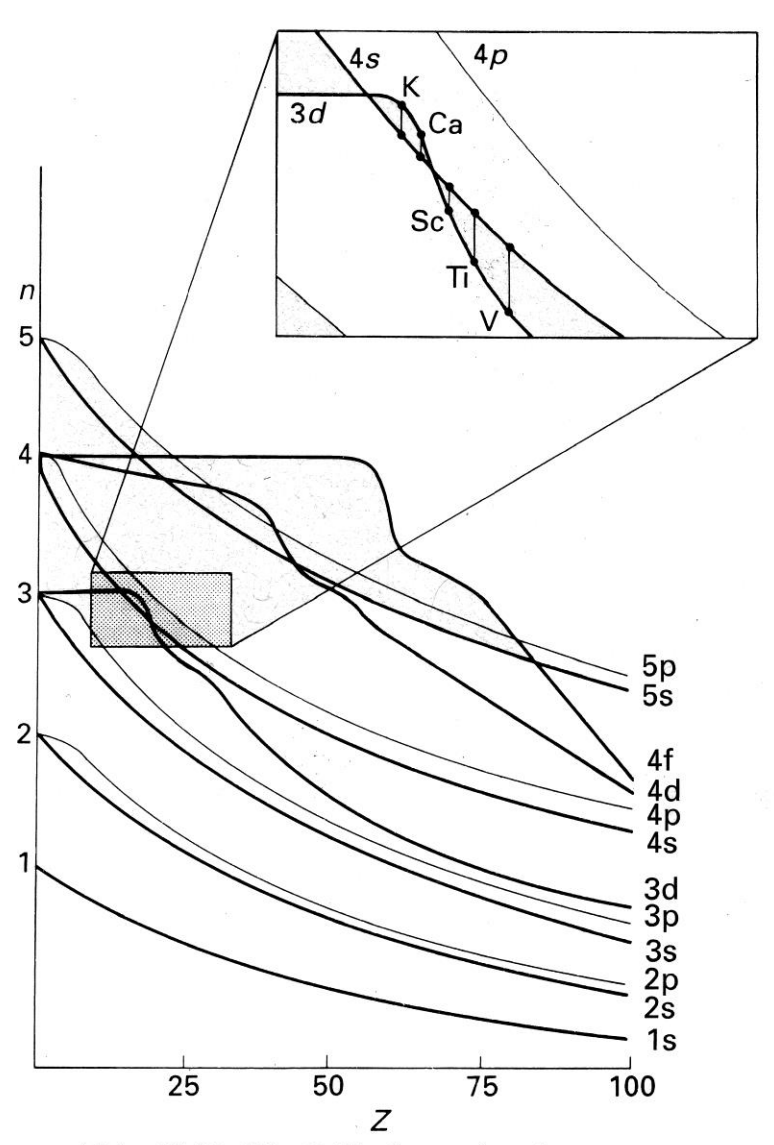
Steudel, "Chemie der Nichtmetalle", de Gruyter, 2008

## **Edelgasverbindungen: MO-Beschreibung**

MO-Diagramm für das Molekül XeF<sub>2</sub>







**Abb. 13.21** Die Orbitalenergien der Elemente. In der Nähe von Kalium wechselt die Reihenfolge der Orbitale 3d und 4s (siehe Ausschnitt).

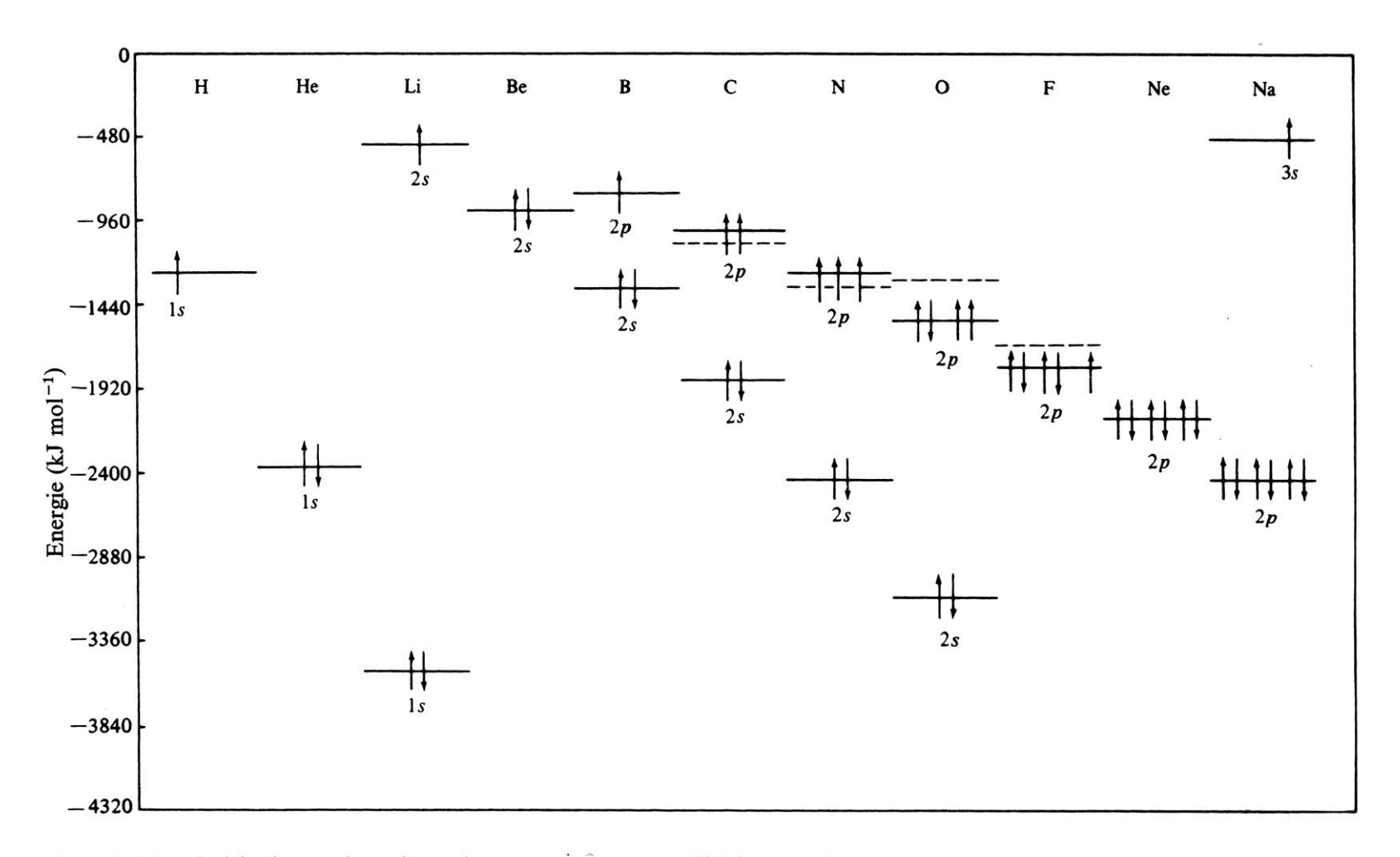
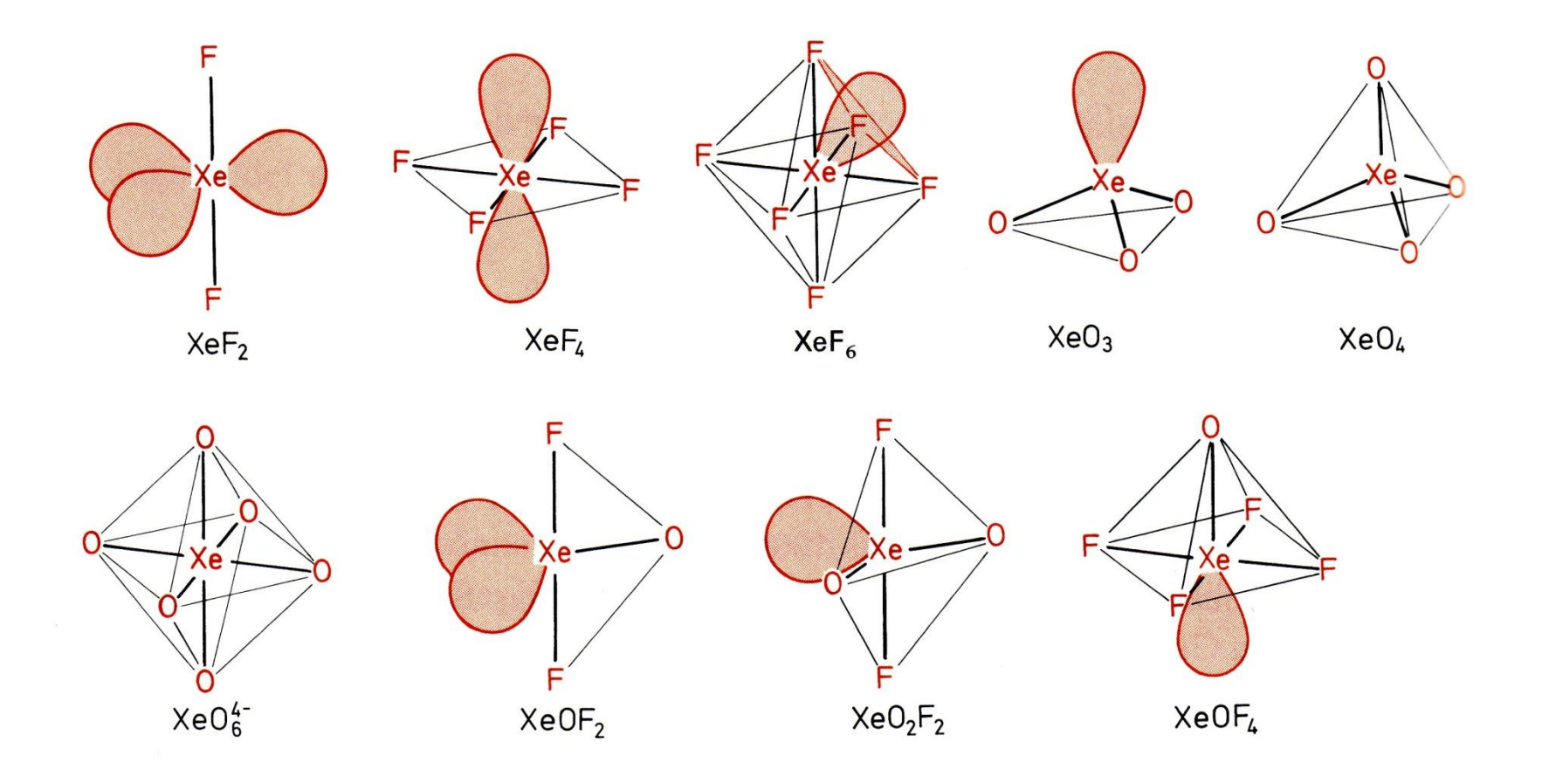
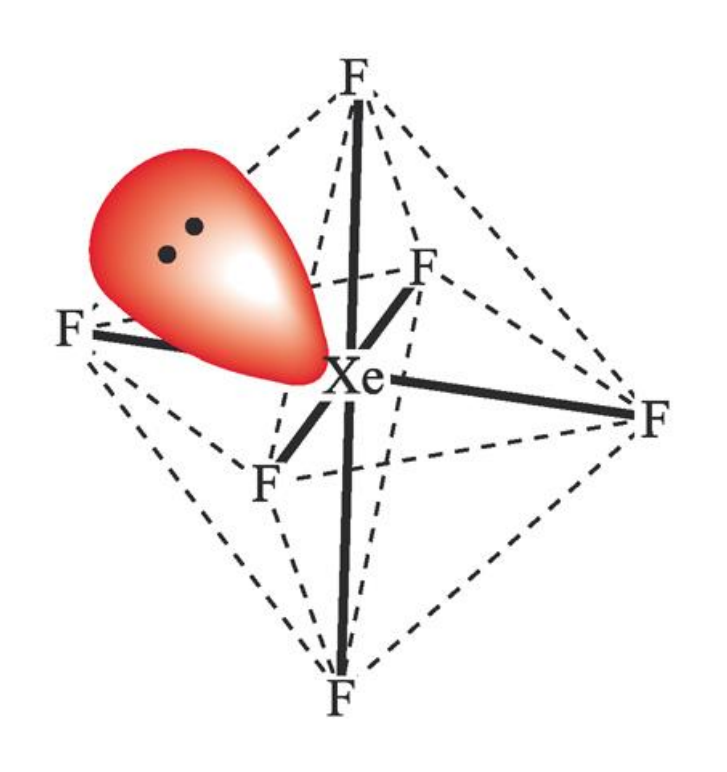


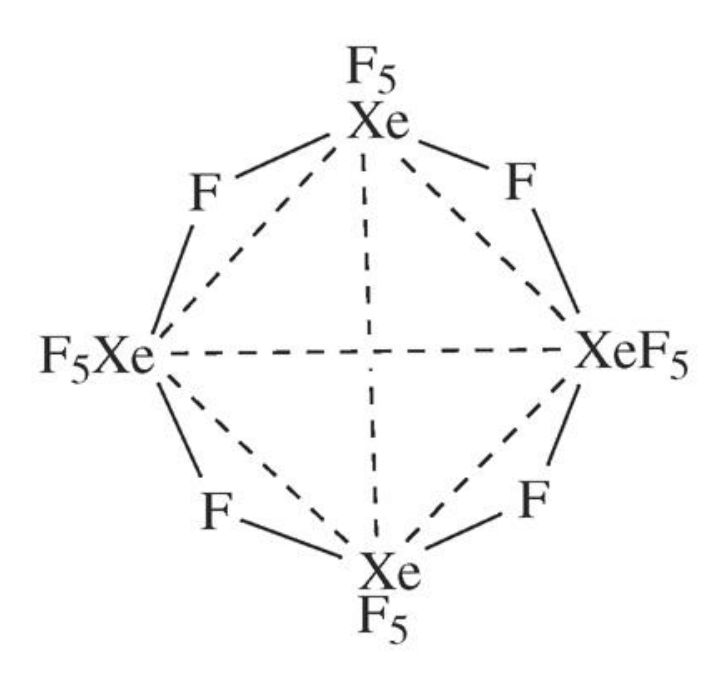
Abb. 2.14 Orbitalenergien der Elemente Wasserstoff bis Natrium. Durchgezogene Linien geben die Einelektronenorbital-Energien an. Die experimentellen Orbitalenergien (= negative Ionisierungsenergien) sind durch gestrichelte Linien gekennzeichnet; sie haben wegen der Wechselwirkung zwischen den Elektronen etwas andere Werte.

## Edelgasverbindungen: Xe-Fluoride - Strukturen



## Strukturen des Xenonhexafluorids, XeF<sub>6</sub>

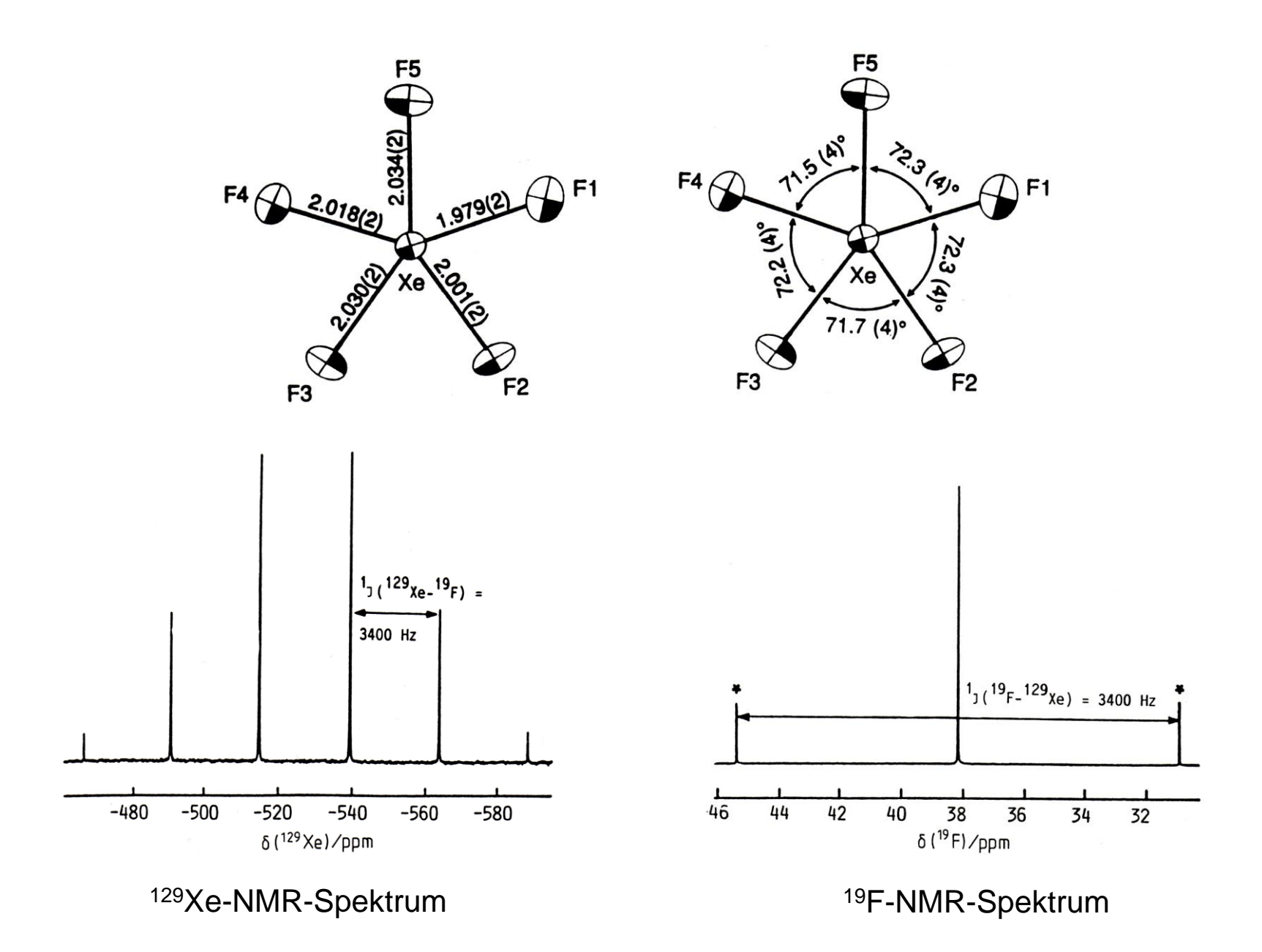




Gasphasenstruktur

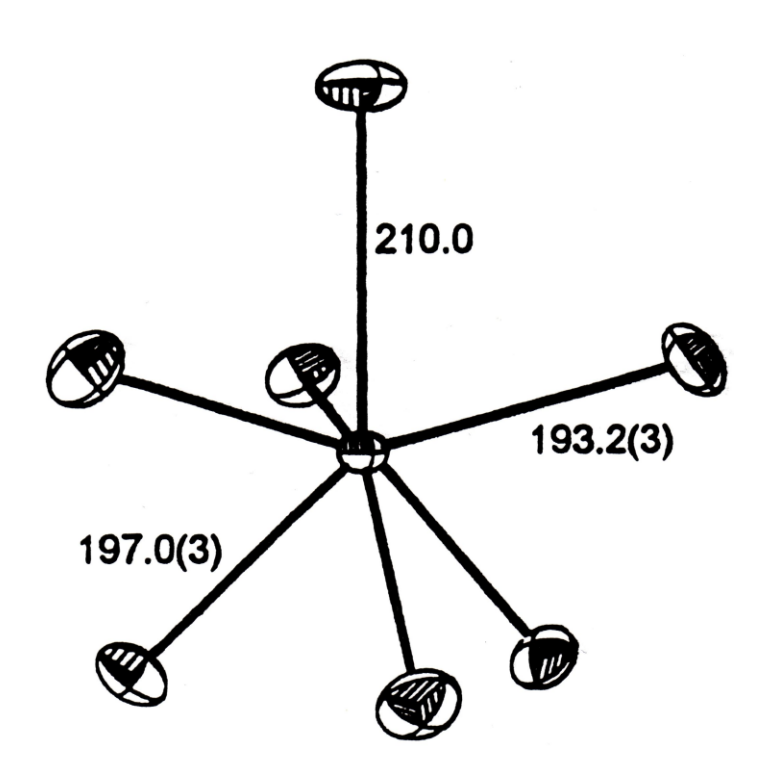
Tetramere Festkörperstruktur [XeF<sub>5</sub>]+F<sup>-</sup>

## Struktur und NMR-Spektren von [NMe<sub>4</sub>]<sup>+</sup>[XeF<sub>5</sub>]<sup>-</sup>



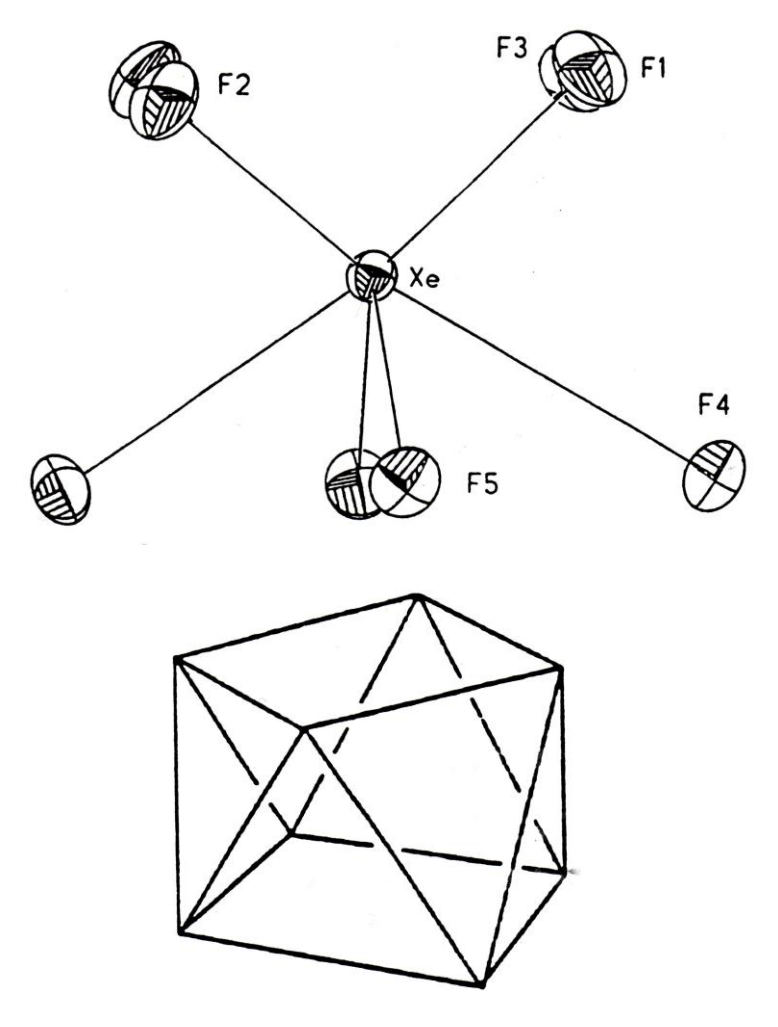
#### Struktur von XeF<sub>7</sub> und XeF<sub>8</sub><sup>2</sup>

# Molekülstruktur des Anions in Cs<sup>+</sup>[XeF<sub>7</sub>]<sup>-</sup>



überkappt oktaedrisch

#### Molekülstruktur des Anions in [NO]<sup>+</sup><sub>2</sub>XeF<sub>8</sub><sup>2-</sup>

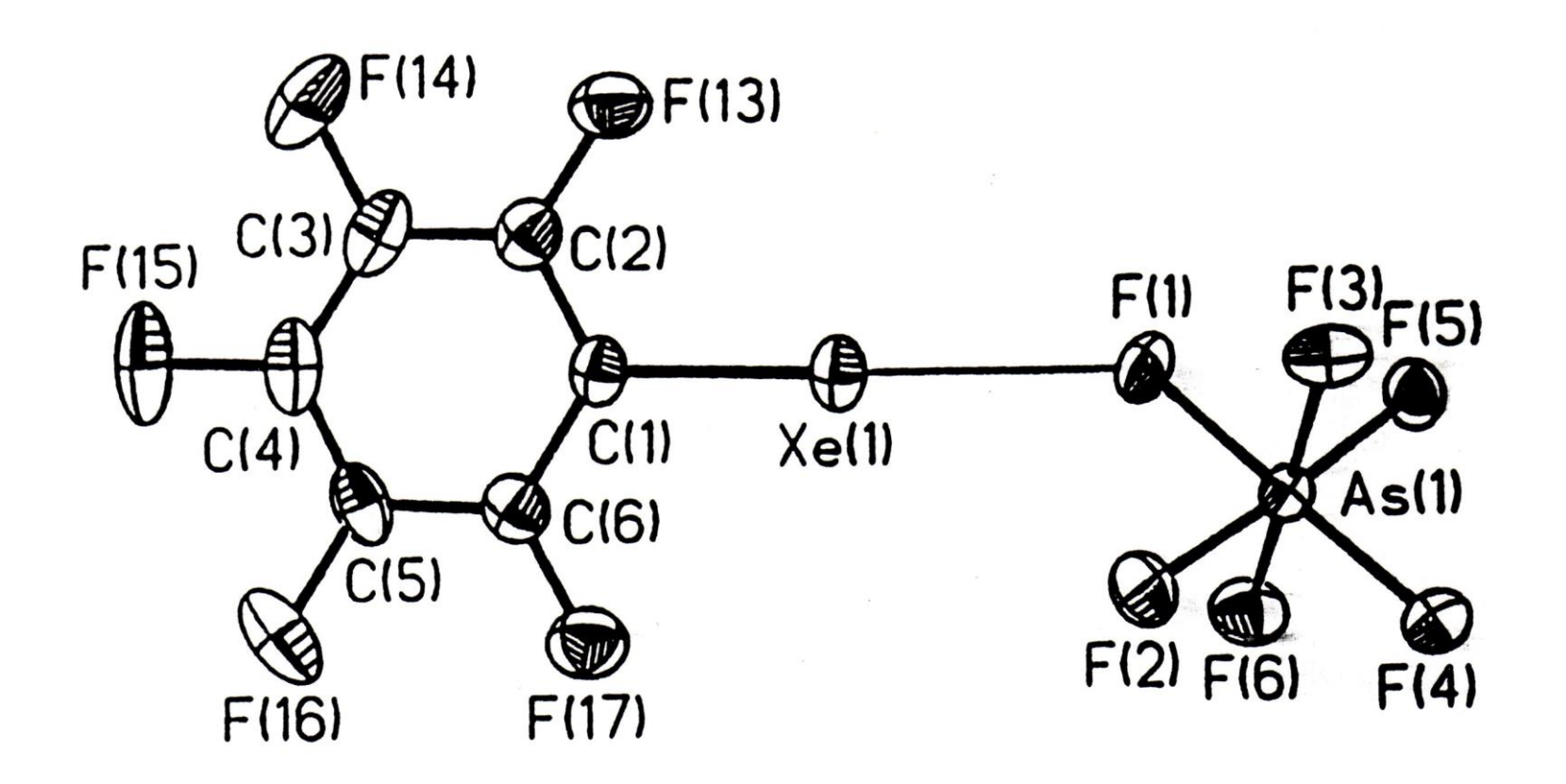


quadratisch-antiprismatisch

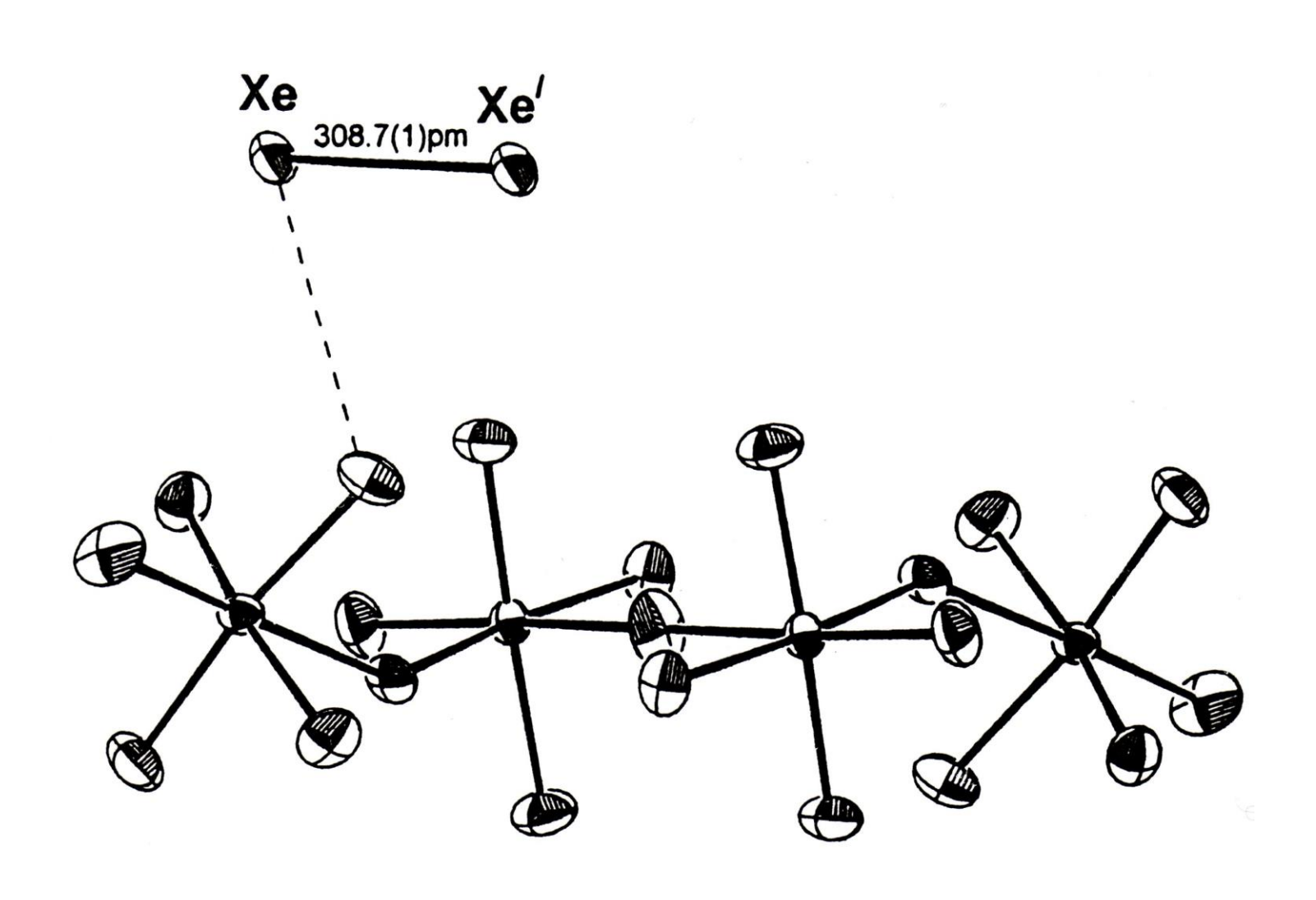
# Eigenschaften von Xenonoxiden und Xenonoxidfluoriden

			Oxidations- zahl
	$XeOF_2$ gelbe Kristalle instabil $\Delta H_R^{\circ} > 0$		+4
$XeO_3$ farblose Kristalle explosiv $\Delta H_B^{\circ} = +402 \text{ kJ/mol}$	$XeO_2F_2$ farblose Kristalle metastabil, Smp. 31°C $\Delta H_R^{\circ} > 0$	XeOF <sub>4</sub> farblose Flüssigkeit Smp. $-46$ °C $\Delta H_{\rm B}^{\circ} = -96$ kJ/mol	+6
$XeO_4$ farbloses Gas explosiv $\Delta H_B^{\circ} = +643 \text{ kJ/mol}$	XeO <sub>3</sub> F <sub>2</sub> Flüssigkeit Smp. – 54°C	XeO <sub>2</sub> F <sub>4</sub> massenspektrometrisch nachgewiesen	+8

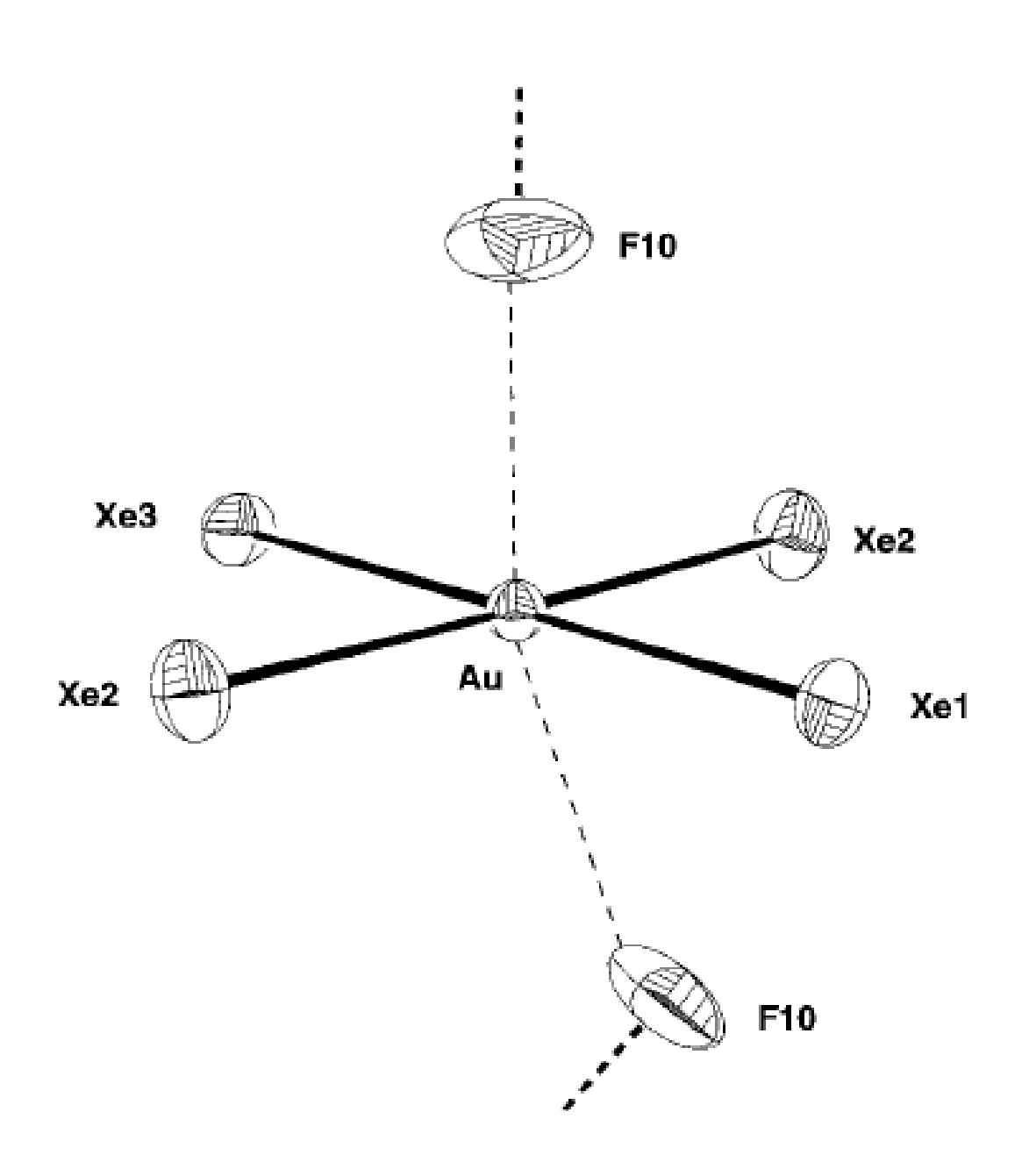
## Molekülstruktur von [C<sub>6</sub>F<sub>5</sub>Xe]<sup>+</sup>[AsF<sub>6</sub>]<sup>-</sup>



## Molekülstruktur von $[Xe_2]^+[Sb_4F_{21}]^-(Xe_2^+ = Dixenylkation)$

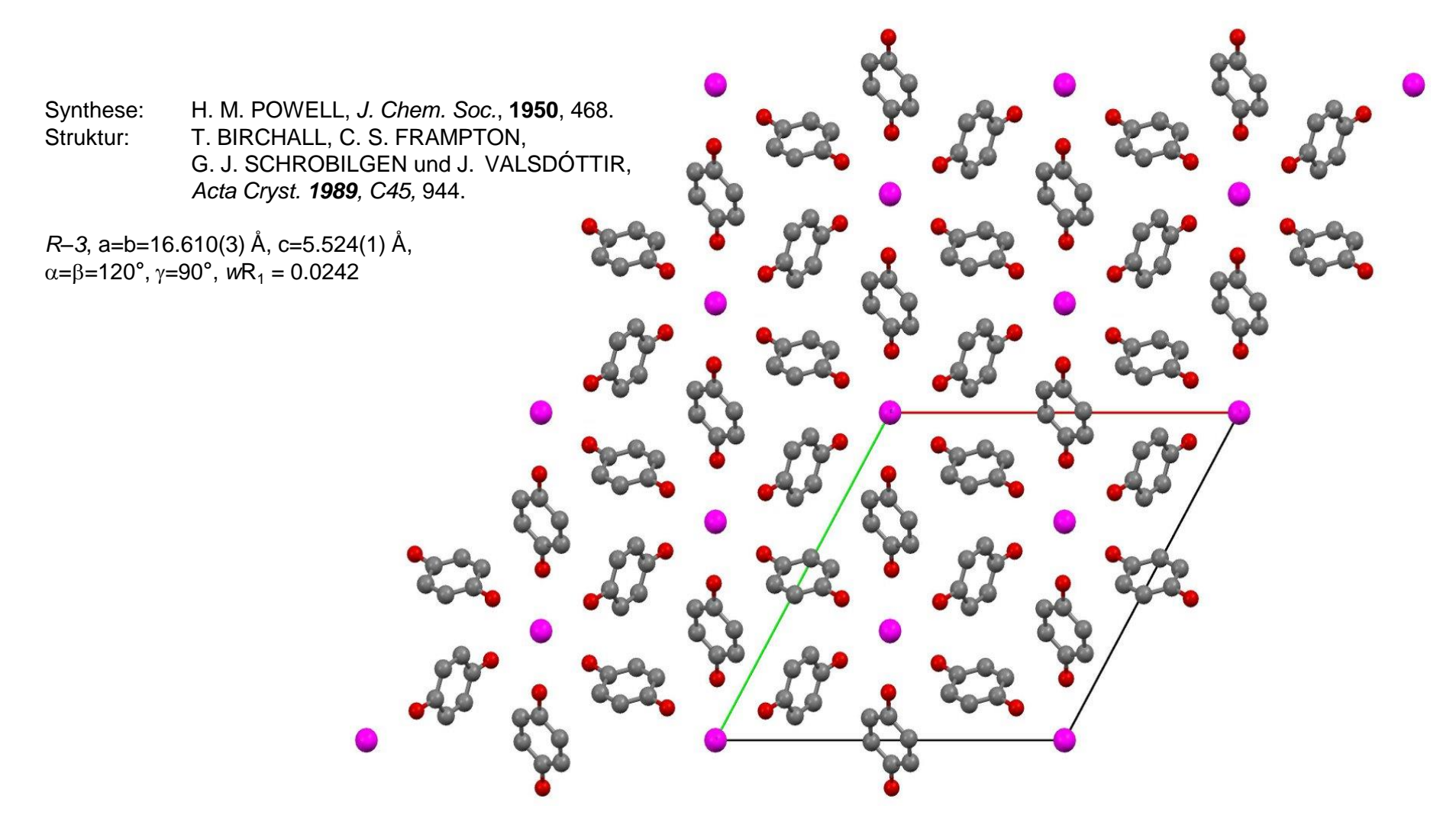


# Ausschnitt aus der Kristallstruktur von [AuXe<sub>4</sub>]<sup>2+</sup>[Sb<sub>2</sub>F<sub>11</sub>]<sup>-</sup><sub>2</sub>



#### **Chatherate**

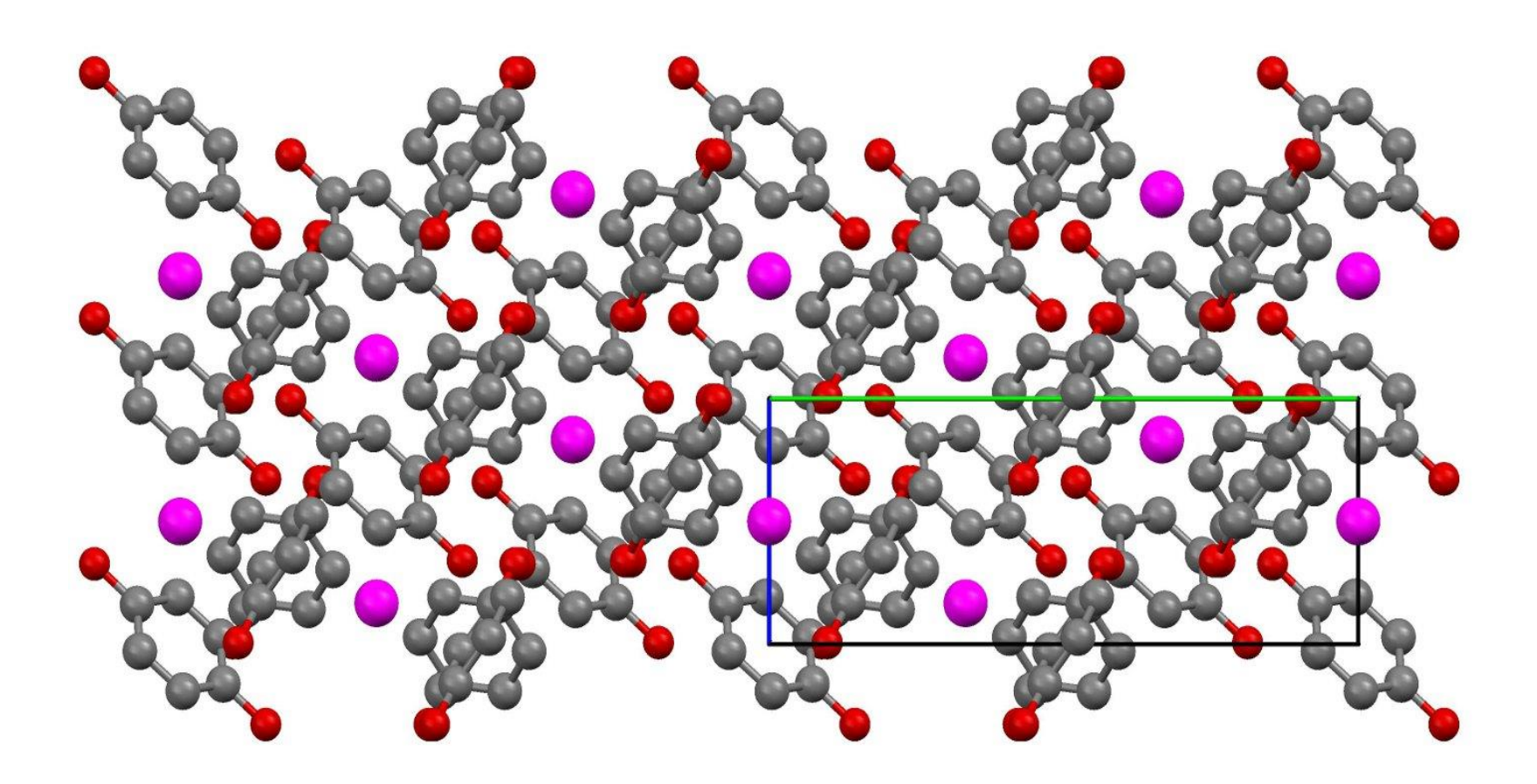
Bis 1962 waren keine kovalenten Edelgas-Verbindungen bekannt. Aber Einlagerungsverbindungen sind schon seit längerem bekannt: Xe in p-(HO)<sub>2</sub>C<sub>6</sub>H<sub>4</sub>



Blick parallel zur c-Achse

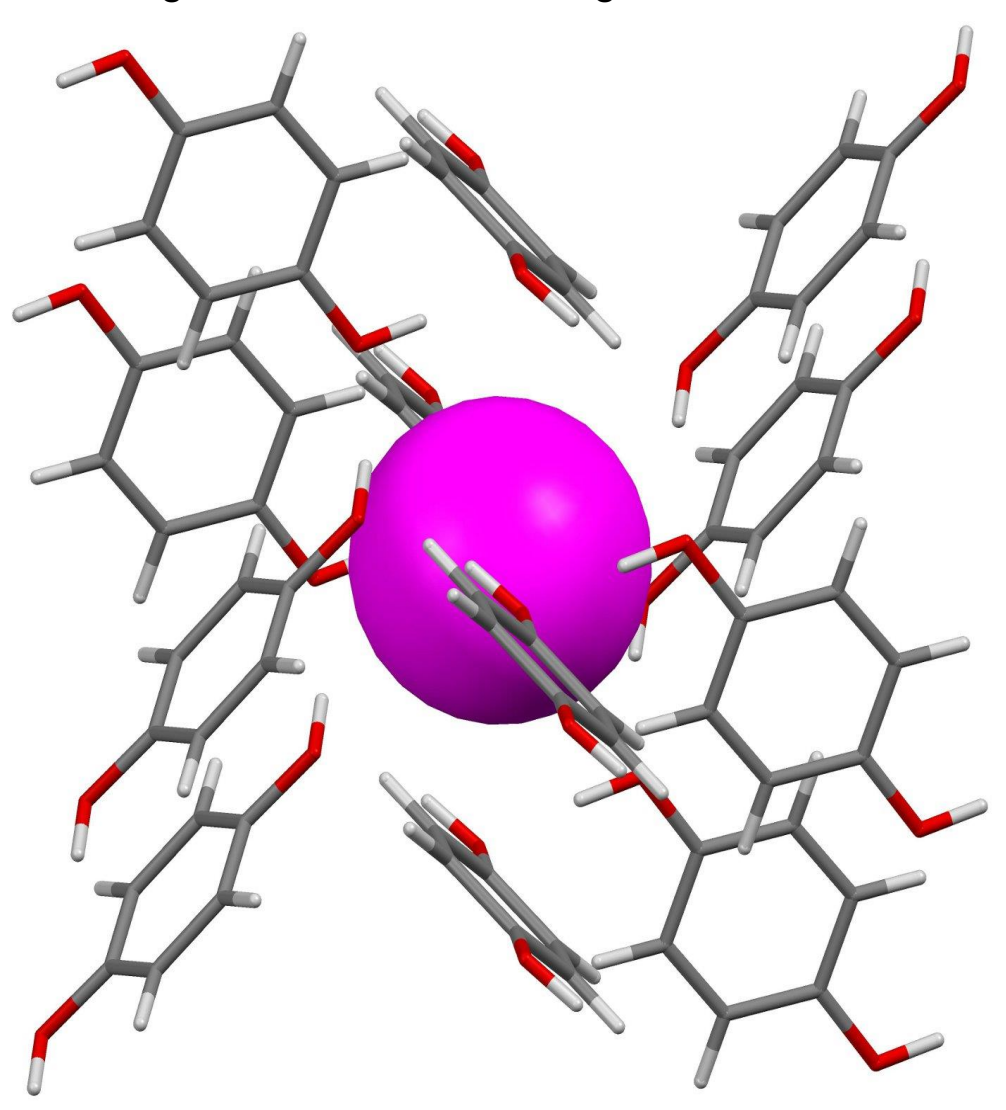
#### **Chatherate**

Bis 1962 waren keine kovalenten Edelgas-Verbindungen bekannt. Aber Einlagerungsverbindungen sind schon seit längerem bekannt: Xe in p-(HO) $_2$ C $_6$ H $_4$ 



#### Chatherate

Bis 1962 waren keine kovalenten Edelgas-Verbindungen bekannt. Aber Einlagerungsverbindungen sind schon seit längerem bekannt: Xe in p-(HO) $_2$ C $_6$ H $_4$ 



### Einige Reaktionen des Xenons im Überblick

